

· 短篇 ·

## 肺内神经鞘瘤影像表现1例

陆振营 王翰芳 潘金龙 李向东 李小荣\*

南部战区总医院放射诊断科(广东广州 510010)

第一作者: 陆振营, 男, 住院医师, 主要研究方向: 影像诊断研究。E-mail: 371067036@qq.com

通信作者: 李小荣, 男, 副主任医师, 主要研究方向: 胸部及心血管影像诊断。E-mail: lxrong2008@163.com

【关键词】肺肿瘤; 神经鞘瘤; 计算机体层成像(CT); 影像诊断

【中图分类号】R445.3; R445.4; R734.2

【文献标识码】D

DOI:10.3969/j.issn.1672-5131.2025.08.059

## Imaging Findings of Intrapulmonary Neurilemmoma : a Case Report

LU Zhen-ying, WANG Han-fang, PAN Jin-long, LI Xiang-dong, LI Xiao-rong\*

Department of Radiology, General Hospital of Southern Theater Command, Guangzhou 510010, Guangdong Province, China

**Keywords:** Lung Neoplasms; Neurilemmoma; Computed Tomography (CT); Imaging Diagnosis

**病例分析:** 患者, 女, 60岁, 因烧心、乏力、纳差1月, 院外检查发现肺部结节20天入院。既往于2023年1月在外院诊断为反流性食管炎; 余既往史无特殊。实验室检查: 肺癌四项无异常, 血常规无异常。入院后行胸部增强CT示(图1~4): 左肺下叶前内基底段见一类圆形实性结节影, 边缘清楚光整, 截面大小约1.6 cm×1.6 cm, 邻近左肺下叶前内基底段支气管受压变扁, 未见分叶及毛刺征; 平扫病灶密度均匀, 增强扫描动脉期呈均匀明显强化, 静脉期强化程度减退, CT值分别约为18、71、49(Hu), 边缘见强化的血管贴边走行。影像初步诊断为肺内良性肿瘤性病

变, 硬化性肺泡细胞瘤可能性大。临床行胸腔镜下左下肺基底段切除术, 探查所见结节位于左下肺基底段, 直径约1.5 cm, 无胸膜凹陷。术后病理: 镜下见梭形细胞及多角型细胞增生, 呈束状及栅栏状排列, 细胞核呈逗点状, 局灶呈血管瘤样改变及黏液变性, 符合良性外周神经来源肿瘤。结合免疫组化, 考虑为神经鞘瘤, 大小1.5 cm×1.5 cm×0.5 cm。免疫组化: CK(-), TTF-1(-), Vim(+), S-100(+), Desmin(-), SMA(-), Calponin(-), EMA(-), Actin(-), CD31(-), CD34(-), HMB45(-), Melan-A(-), CD99(-), STAT6(-), Bcl-2(+), CD117(-), Ki67约3%(+)

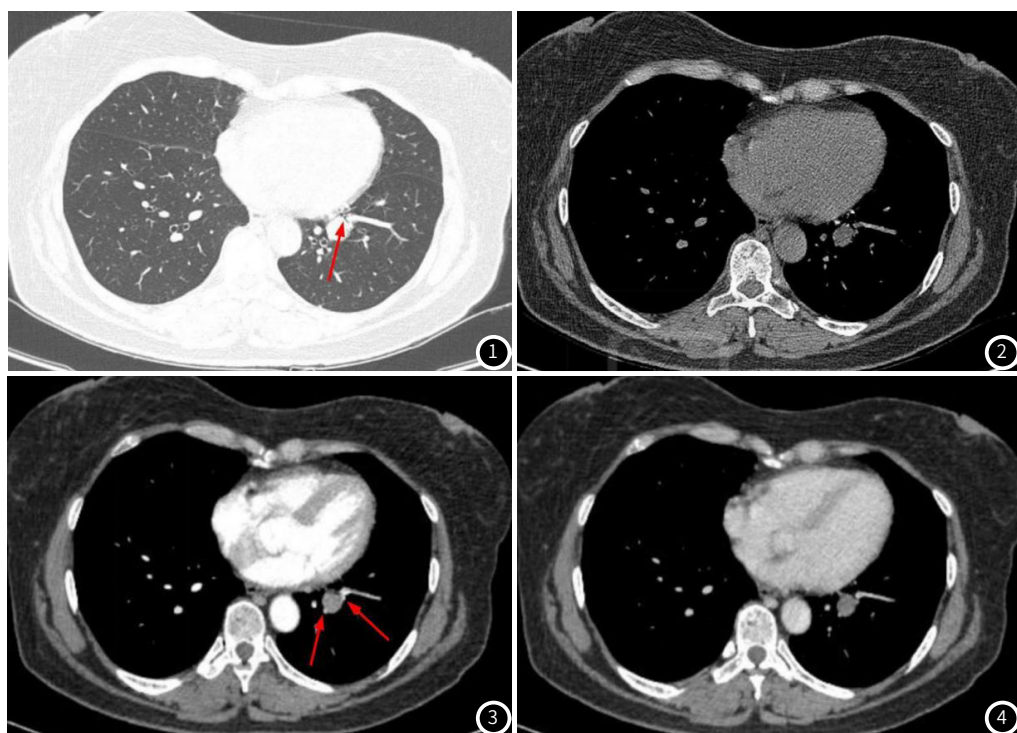


图1 CT平扫肺窗示左肺下叶基底段单发实性结节灶, 边界清楚、光整, 邻近前内基底段支气管受压变窄(红色箭头)。

图2 CT平扫纵隔窗示病变呈均匀稍低密度影。

图3 CT增强动脉期示病变呈明显均匀强化, 边缘可见强化血管贴边征(红色箭头)。

图4 CT增强静脉期示病变强化程度减低。

讨论：神经鞘瘤(neurilemmoma, NL)是一种起源于神经鞘上的神经胶质细胞(Schwann细胞)具有包膜的良性周围神经鞘膜肿瘤，可发生在全身各个部位，主要位于软组织当中，常见于头颈部、四肢、腹膜后及脊神经后根等，肺内神经鞘瘤(intrapulmonary neurilemmoma)罕见，其发病率占所有肺部肿瘤的0.2%<sup>[1-4]</sup>。临幊上肺内神经鞘瘤患者的发病年龄、性别、吸烟无明显差异<sup>[1,5]</sup>；大多数患者无明显症状，少数出现症状者多与肿瘤部位、大小及气道阻塞程度相关<sup>[1-4,6]</sup>；本例患者临床首发症状为烧心、乏力、纳差，与肺内病变无明显关系。肺神经鞘瘤生长较缓慢、恶性转化率低<sup>[1,5]</sup>，术后预后良好。

肺内神经鞘瘤影像以良性肿瘤征象为主：肿瘤位于肺内或支气管内<sup>[1,3,6]</sup>，累及支气管者可出现阻塞性肺不张或肺炎等影像征象；CT表现为边界清楚的肺内孤立性、类圆形实性结节或肿块<sup>[2,4-8]</sup>，包膜完整，多呈均匀稍低密度影，若肿瘤体积增大或伴有囊变、出血、钙化时密度多为不均匀，本例病灶呈均匀稍低密度单发病灶，周围肺组织无异常，与文献报道基本一致；增强病灶多呈均匀或不均匀强化<sup>[1,5-6]</sup>，主要与肿瘤组织学成分(Antoni A、B区)构成比<sup>[5,9-10]</sup>有关，Antoni B区成分越多强化越不均匀；此外，有文献报道病灶强化程度与肿瘤大小也有关<sup>[1-2]</sup>，肿瘤越大强化多不均匀；推测本例均匀强化的原因为病灶体积小且其组织学上Antoni A区成分(一般为富血供区)为主，致使其强化均匀。此外，本例可见肺内两条细小血管影紧贴病灶边缘走行，血管受压推移无受侵，呈“血管贴边征”<sup>[6]</sup>表现。

本病需与周围型肺癌、肺转移瘤、肺硬化性血管瘤、肺错构瘤、肺结核球、孤立性纤维瘤及球形肺炎等相鉴别。周围型肺癌典型表现为分叶状实性占位，可见短毛刺征、血管集束征及胸膜凹陷征<sup>[11]</sup>；肺转移瘤则有恶性肿瘤史，典型者表现为散在多发边界清楚、大小不等的球形结节，不典型者可表现为肺内单发结节、边缘光整<sup>[12]</sup>；肺硬化性血管瘤多呈椭圆形实性结节，可见晕征、空气新月征及血管贴边征<sup>[13]</sup>；肺错构瘤多表现为单发实性结节、边缘光整，病灶内“爆米花”样钙化是其特征性表现<sup>[14]</sup>；肺结核球：典型表现为圆形或球形病灶内夹杂钙化灶，周围可见长毛刺征及卫星灶，增强无或轻度强化<sup>[15]</sup>。

综上所述，肺内神经鞘瘤是一种罕见的良性软组织肿瘤，无明显特异性临床及影像学表现。确诊需依赖于病理组织学检查及免疫组化染色。目前最有效的治疗方式是手术切除，预后好、复发率低，术前影像学检查可以为手术方案提供有效帮助。

## 参考文献

- [1] Walvir N M, Makhdoomi R H, Zargar M, et al. Lung schwannomas, an unusual entity: a series of five cases [J]. Lung India, 2023, 40(1): 70-74.
- [2] Zarei S, Popa A, Moghadam B, et al. oversized primary intrapulmonary schwannoma: a case report and a review of the literature [J]. Surg Neurol Int, 2020, 11: 234.
- [3] Mora P J, Garcia G A, Matesanz L C, et al. Intrapulmonary schwannoma: a case report [J]. Arch Bronconeumol, 2023, 59(10): 664-665.
- [4] 冯润林,陶燕萍.原发性肺内神经鞘瘤2例临床病理特征分析[J].临幊与实验病理学杂志,2022,38(04):480-482.
- [5] 王君广,陈俊波,周赵霞,等.肺内神经鞘瘤1例[J].医学影像学杂志,2019,29(7):1255-1256.
- [6] 王艳,杜祥颖,姚新宇,等.儿童肺内神经鞘瘤CT表现1例[J].中国介入影像与治疗学,2022,19(8):526.
- [7] Li C P, Li L, Su L M, et al. Challenging diagnosis: unmasking the enigma of imaging findings with lung schwannomas [J]. Cancer Manag Res, 2023, 15: 1343-1347.
- [8] Abbas M, Fatimi A S, Hassan S I, et al. Intrapulmonary schwannoma presenting as an asymptomatic lung mass: a case report [J]. J Med Case Rep, 2023, 17(1): 538.
- [9] Nakaya M, Kurokawa R, Watadani T, et al. Schwannoma in and around the porta hepatis: radiological features in eight cases and literature review [J]. Abdom Radiol (NY), 2022, 47(6): 1917-1928.
- [10] Shomal Z F, Azhdeh A, Mantilla J G, et al. Imaging features of intraosseous schwannoma: a case series and review of the literature [J]. Diagnostics (Basel), 2023, 13(9).
- [11] 沈弘,陈辰.CT动态增强扫描在周围型肺癌中的诊断价值及影像学特征分析[J].影像研究与医学应用,2024,8(06):95-97.
- [12] 吴怡政,李蟹,李洁,等.肺转移瘤CT表现[J].岭南急诊医学杂志,2022,27(2):152-156.
- [13] 王伟,张媛媛,吴鸿雁,等.探讨动态增强CT扫描对肺内硬化性血管瘤影像诊断的价值[J].生命科学仪器,2022,20(S1):1.
- [14] 姜若波,刘敏,汤泊.肺内型错构瘤临床及影像特点分析[J].影像研究与医学应用,2023,7(10):29-32.
- [15] 魏连贵,关春爽,陈步东,等.孤立性非干酪性肺结核球的CT表现与鉴别诊断[J].新发传染病电子杂志,2021,6(01):35-39.

(收稿日期: 2024-05-22)  
(校对编辑: 赵望淇、江丽华)

## · 短篇 ·

# 睾丸表皮样囊肿合并脓肿1例并文献复习

金娜娜\* 兰国宾 马红玉 石倩倩

河北省沧州中西医结合医院影像中心(河北沧州 061000)

第一作者: 金娜娜, 女, 主治医师, 主要研究方向: 影像诊断。E-mail: 1224908891@qq.com

通讯作者: 金娜娜

【关键词】睾丸；表皮样囊肿；脓肿

【中图分类号】R697+.22

【文献标识码】D

DOI:10.3969/j.issn.1672-5131.2025.08.060